

A Survey of Landslides in Central Zagros using Entropy Model Case Study (Aradal-Naghan Region)

Somayeh Sadat Shahzeidi ^{*1}, Mojgan Ghanbari ²

¹ Assistant Prof. of Physical Geography (Geo morphology), University of Guilan, , Rasht, Iran

² Mojgan Ghanbari, graduate of geography

Abstract

Today, cities around the world are exposed to natural hazards for many reasons. These risks come with many injuries that require immediate and preventive actions. The occurrence of landslides and hazards has made it necessary to identify and prioritize these sensitive areas. Ardal-Naghan region is located in the southwest of Chaharmahal-Bakhtiari province. The method of this research is descriptive-analytic. In the descriptive section, using the documentary studies and in the analytical section, identifying the effective parameters in the zoning of geomorphic hazards and integrating it with spatial analysis in the GIS of the vulnerable zones in the study area were determined. In this study, firstly, effective factors in hazard zonation were identified. After examining satellite images, geological maps and field studies, effective factors were studied using entropy model. The aim of this research is to determine the zoning of landslide hazard in Ardal-Naghan region using the entropy model in landslide occurrence by identifying effective factors such as slope, direction, distance from fault, distance from the waterway, elevation, geology and so on. According to the entropy model, the results show that 23 percent of landslides are in low-risk area, 25 percent are in moderate risk, and 52 percent of landslides are in high-risk area. This shows that in landslide zoning, the regional entropy model possesses the accuracy and validity.

Key words: Landslide, Entropy Model, Geomorphology, Ardal ° Naghan.

* shahzeidi2012@yahoo.com



جغرافیا و برنامه‌ریزی محیطی

سال ۲۹، پاپی ۷۲، شماره ۴، زمستان ۱۳۹۷

بررسی زمین‌لغزش‌های زاگرس میانی با استفاده از مدل آنتروپی (مطالعه موردی: منطقه اردل – ناغان)

سمیه سادات شاه زیدی *، استادیار، جغرافیای طبیعی، رئومرفولوژی، دانشگاه گیلان، رشت، ایران

مژگان قنبری عدیوی، دانش آموخته جغرافیا

وصول: ۱۳۹۵/۰۸/۲۷ پذیرش: ۱۳۹۷/۱۰/۲۲، صص ۶۸-۵۱

چکیده

امروزه شهرها در نقاط مختلف دنیا به دلایل متعدد در معرض آسیب ناشی از مخاطرات طبیعی قرار دارند. این مخاطرات آسیب‌های بسیاری می‌رسانند که نیازمند اقدامات فوری و پیشگیرانه است. وقوع زمین‌لغزش و مخاطرات آن، شناسایی و اولویت‌بندی این مناطق حساس را ضرورت بخشیده است. منطقه اردل – ناغان از جمله این مناطق است که در جنوب غربی استان چهارمحال و بختیاری قرار دارد. روش انجام این پژوهش توصیفی – تحلیلی است که در بخش توصیفی با استفاده از مطالعات استنادی و در بخش تحلیلی با شناسایی عوامل مؤثر بر پهنه‌بندی مخاطرات ژئومورفیک و تلفیق آن با تحلیل‌های فضایی در سیستم اطلاعات جغرافیایی (GIS)، پهنه‌های آسیب‌پذیر در محدوده مدنظر مشخص شد. در این پژوهش نخست عوامل مؤثر بر پهنه‌بندی مخاطرات شناسایی و پس از بررسی تصاویر ماهواره‌ای، نقشه زمین‌شناسی و مطالعات میدانی عوامل مؤثر با استفاده از مدل آنتروپی ارزیابی شد. هدف پژوهش، پهنه‌بندی خطر زمین‌لغزش در منطقه اردل – ناغان با استفاده از مدل آنتروپی در وقوع زمین‌لغزش‌ها با شناسایی عوامل مؤثر نظیر شب، جهت شب، فاصله از گسل، فاصله از آبراهه، طبقات ارتفاعی و زمین‌شناسی است. با توجه به مدل آنتروپی نتایج نشان می‌دهد ۲۳ درصد از زمین‌لغزش‌ها در محدوده کم خطر، ۲۵ درصد در محدوده با خطر متوسط و ۵۲ درصد از زمین‌لغزش‌ها در منطقه پر خطر واقع می‌شود که با مدل آنتروپی مشخص شد و این مسئله نشان می‌دهد در پهنه‌بندی لغزش‌های منطقه‌ای، مدل آنتروپی دقیق و روایی لازم را دارد.

واژه‌های کلیدی: زمین‌لغزش، مدل آنتروپی، رئومرفولوژی، منطقه اردل – ناغان.

مقدمه

کوتاه‌مدت سیستم‌های طبیعی را بر هم می‌زنند و شرایط مناسبی را برای فعالیت‌های فرسایشی فراهم می‌کنند؛ فرم ژئومورفیک، دامنه‌ها را همواره دستخوش تغییرات و تحولات زیادی قرار می‌دهد؛ بنابراین شناخت و تحلیل لغزش‌های دیرینه و جدید بهمنزله فرایندی در تحول دامنه‌ها بسیار ضروری است. دوم اینکه این پدیده خطرات طبیعی بزرگی را مانند تخریب روستاهای و شهرها، جاده‌ها و زمین‌های کشاورزی ایجاد می‌کند، اما در بعضی از لغزش‌های قدیمی آثار مدنیت گذشته و حتی مدنیت‌های ناپایدار فصلی جدید دیده می‌شود؛ بنابراین شناخت و بررسی این پدیده از جنبه‌های مختلف برای برنامه‌ریزی در آمایش سرزمین و مدیریت محیط و کاربری زمین بسیار مؤثر است (انتظاری، ۱۳۹۰: ۳).

پیشینهٔ پژوهش

در این راستا مطالعات بسیاری صورت گرفته است که در زیر به بعضی از آنها اشاره می‌شود: پورقاسمی و همکاران (۲۰۱۲) مناطق حساس به زمین‌لغزش را با استفاده از شاخص‌های آنتropوبی و مدل احتمالات شرطی در جی‌آی‌اس در منطقه صفارود بررسی کردند. مکان لغزش‌ها با استفاده از عکس‌های هوایی و مطالعات میدانی محاسبه شد. لایه‌هایی مثل توپوگرافی زمین‌شناسی و فاکتورهای خاک ایجاد و سپس شاخص‌های آنتropوبی (IOE) و مدل احتمالات شرطی (CP) روی منطقه اعمال شد. نتایج نشان داد شاخص IOE کمی بهتر از مدل CP در شناسایی مناطق حساس به زمین‌لغزش بوده است (Pourghasemi et al, 2012: 71).

مطالعات ژئومورفولوژیک نشان می‌دهد بین عوامل محیطی و لندهای زمین ارتباط وجود دارد. این ارتباط به حدی است که دانشمندان علوم جغرافیایی پدیده‌های سطح زمین را حاصل دو نیروی شکل‌زای بیرونی و درونی می‌دانند (زمردیان، ۱۳۸۱: ۱۶). بیشتر پدیده‌های سطح زمین ناشی از فرایندهایی است که موجودیت خود را مديون دوران گذشته بهویژه دوران چهارم هستند. مخاطرات طبیعی توجه پژوهشگران علوم مختلف مانند اقلیم‌شناسی، جغرافیا و زمین‌شناسی و... را به خود جلب کرده است و همه آنها سعی دارند علل این پدیده و تأثیراتی را تحلیل کنند که چنین تغییراتی بر سطح کره زمین می‌گذارد. در این میان بهویژه جغرافیدانان با دیدگاه و معرفت‌شناسی خاصی به این پدیده می‌اندیشند (نعمت‌اللهی، ۱۳۸۲: ۱).

پدیده زمین‌لغزش از انواع حرکات دامنه‌ای است. این پدیده سبب جابه‌جایی توده‌ای از مواد در دامنه‌ها می‌شود که در ادوار مختلف زمین‌شناسی صورت گرفته است. همچنین یکی از بلایای طبیعی محسوب می‌شود که به دلیل ایجاد خطرات در مرکز توجه قرار گرفته است. در دهه‌های اخیر رشد سریع جمعیت و گسترش شهرها به طرف نواحی با شبیه بیشتر و کوهستانی از یک سو و دخالت هرچه بیشتر بشر در طبیعت از سوی دیگر به صورت نگران‌کننده‌ای سبب افزایش تعداد وقوع زمین‌لغزش‌ها و میزان خسارات و تلفات این پدیده شده است.

به‌طورکلی مطالعه لغزش‌ها از جنبه‌های مختلف اهمیت دارد؛ اول اینکه عوامل مناسبی برای تغییرات محیطی‌اند و به‌مثابة فرایندی ژئومورفیک در

- چالوس، بار ترافیکی این مسیر را کاهش و احتمال وقوع زمین‌لغزش را روی این جاده‌ها به دلیل عبور از میان رشته‌کوه‌های البرز افزایش می‌دهد. در این پژوهش برای تعیین خطر زمین‌لغزش روی دامنه‌های کناری جاده چالوس و بزرگراه و در حوضه رودخانه چالوس، عواملی از قبیل توپوگرافی، زمین‌شناسی، گسل‌ها، هیدرولوژی و پوشش گیاهی و برای تعیین خطر روی جاده و بزرگراه، عواملی مانند آزمیوت شیب بیشینه، فاصله جاده از خاکریزهای کناری و مساحت مؤثر دامنه‌ها در نظر گرفته شد. براساس نتایج به دست آمده از کل طول جاده در منطقه مدنظر که ۶۶ کیلومتر است، ۱۶ درصد خطر بسیار زیاد و ۴۲ درصد خطر زیاد برای وقوع زمین‌لغزش دارد؛ همچنین از ۱۷ کیلومتر طول بزرگراه در حال ساخت، ۱۲ درصد خطر بسیار زیاد و ۳۳ درصد خطر زیاد برای وقوع زمین‌لغزش دارد (متشرعی و همکاران، ۱۳۹۱: ۱۴۷).

سوری و همکاران (۱۳۹۲) در پژوهش «پهنگندی خطر زمین‌لغزش حوضه کسمت با استفاده از روش فرایند تحلیل سلسه‌مراتبی» با بهره‌گیری از عکس‌های هوایی و بازدیدهای میدانی، نقاط مستعد لغزش را شناسایی و نقشهٔ پراکنش زمین‌لغزش را تهیه کردند؛ سپس تأثیر هریک از عوامل شیب، جهت شیب، ارتفاع، زمین‌شناسی، جاده و آبراهه را بر ناپایداری شیب‌ها در منطقه تعیین کردند (سوری و همکاران، ۱۳۹۲: ۱۰۱).

فعله‌گری و همکاران (۱۳۹۲) نقش عوامل انسانی را در ناپایداری دامنه‌ها در جنوب شرقی ایلام به مساحت ۱۸۳۶۰ هکتار با استفاده از مدل پایداری دامنه‌ها (FS) ارزیابی کردند و با بررسی دامنه‌ها و تعیین ضریب پایداری آنها دریافتند جاده‌سازی در

مقیمی و همکاران (۱۳۹۱) در منطقه زاگرس شمال غربی در طاق‌دیس نسار، مناطق مستعد رخداد زمین‌لغزش را با مدل آنتروپی بررسی کردند. آنها با توجه به شناخت و بررسی میزان تأثیر عوامل لیتوژوژی، فاصله از گسل، ارتفاع، شیب و جهت شیب در وقوع زمین‌لغزش که نقش مهمی را در منطقه بر عهده داشتند، به پهنگندی رخداد زمین‌لغزش و تهیه نقشهٔ پهنگندی خطر زمین‌لغزش اقدام و درنهایت راهکارهایی مناسب را برای مدیریت بهینهٔ منطقه از نظر وقوع زمین‌لغزش ارائه کردند (مقیمی و همکاران، ۱۳۹۱: ۷۷).

پورقاسمی و همکاران (۱۳۹۱) در پژوهش «پهنگندی خطر زمین‌لغزش با استفاده از تئوری بیزین در بخشی از منطقه گلستان» با بهره‌گیری از نقاط لغزشی بانک اطلاعات زمین‌لغزش کشور، نقشهٔ پراکنش زمین‌لغزش‌های منطقه را تهیه و با استفاده از نظریهٔ احتمالات بیزین، ارتباط هریک از عوامل (شیب، درجهٔ شیب، ارتفاع، زمین‌شناسی و...) و نقاط لغزشی موجود را تعیین و وزن طبقه‌های هر عامل را مشخص کردند؛ سپس نقشه‌های پهنگندی خطر زمین‌لغزش با ۱۴ رویکرد مدل‌سازی با نظریهٔ بیزین برای منطقه تهیه شد و درنهایت دقت مدل احتمالاتی تهیه شده با رویکرد دوم مدل‌سازی (حذف عامل جهت شیب از تحلیل‌ها) در منطقه مطالعه‌شده ۷۱ درصد (خوب) برآورد شد (پورقاسمی و همکاران، ۱۳۹۱: ۱۰۹).

متشرعی و همکاران (۱۳۹۱) در پژوهشی خطر وقوع زمین‌لغزش را روی جاده توریستی تهران-چالوس پهنگندی کردند که یکی از مهم‌ترین راه‌های ارتباطی میان استان‌های تهران، البرز و شرق استان مازندران است. احداث بزرگراه در حال ساخت تهران

شاہزادی و جعفری (۱۳۹۷) مخاطرات ژئومورفیک مناطق شمال کشور را با استفاده از فرایند تحلیل شبکه استان گیلان تحلیل و پهنه‌بندی کردند. در این پژوهش عوامل مؤثر بر پهنه‌بندی مخاطرات شناسایی و سپس بهمنظور سنجش میزان اهمیت هریک از آنها پرسش‌نامه‌ای تدوین شد تا با روش ANP و برمبنای نظرات کارشناسان درزمینه هریک از عوامل شناسایی شده، اهداف پژوهش به دست آید. پس از اخذ نظرات و با استفاده از روش منطق فازی، هریک از معیارها ارزش‌گذاری و ضرایب اهمیت آنها تعیین شد و براساس نتایج با استفاده از نرم‌افزار جی.آی.اس ارزیابی فضایی صورت گرفت و پهنه‌های پرمخاطره مشخص شد. نتایج نشان داد به کارگیری منطق فازی همراه با تحلیل فضایی جی.آی.اس، ابزاری کارآمد در پهنه‌بندی مخاطرات ژئومورفیک است که به خوبی توانایی مدل تحلیلی پژوهش را به اثبات می‌رساند.

چانگ^۱ و همکاران (۲۰۱۸) تکامل ژئومورفولوژیکی زمین‌لغزش‌ها را در شمال تایوان بررسی کردند. آنها از روش‌های سنتی (استفاده از عکس‌های هوایی) و جدید-مدرن (تکنولوژی^۲ UAS و اطلاعات لیدار) برای بررسی زمین‌لغزش‌ها بهره برداشتند. نتایج نشان داد استفاده از تکنولوژی UAS و اطلاعات لیدار، تصاویر رقومی با رزوولوشن زیاد دتیس و دتس و مدل‌های سه‌بعدی حقیقی برای بررسی زمین‌لغزش‌های منطقه ارائه می‌دهد و همچنین نحوه تکامل زمین‌لغزش‌های قدیمی و حجم آنها با

دامنه‌های با شبیه بیش از ۱۵ درصد باعث کاهش پایداری دامنه‌ها می‌شود؛ از دیدگاه آنها با شناسایی دامنه‌های ناپایدار امکان مشخص کردن عملیات حفاظتی برای افزایش ضریب پایداری دامنه‌ها و افزایش پایداری دامنه‌ها تا ۲۰ درصد فراهم می‌شود (فعله‌گری و همکاران، ۱۳۹۲: ۲۲۷).

اکبر و همکاران (۱۳۹۲) در پژوهشی خطر زمین‌لغزش را در منطقه مسکون جیرفت ارزیابی کردند. آنها برای این کار دو روش فازی و هیبریدی فازی اوزان شاهد را به کار برداشت و در نهایت با توجه به ترسیم نقشه‌ها به این نتیجه دست یافتند که هر دو روش انطباق خوبی را به ویژه در مناطق پر خطر نشان می‌دهند و با زمین‌لغزش‌های موجود در منطقه مطابقت دارند (روش هیبریدی با احتیاط بیشتر و با توجه به نقاط شاهد، مناطق مستعد لغزش را معرفی می‌کند و درنتیجه مناطق معرفی شده نسبت به روش فازی مساحت کمتری را دربرمی‌گیرد). نقشه‌های حاصل از دو روش هیبریدی و فازی، به ترتیب حد آستانه‌های مینیمم و ماکزیمم، خطر لغزش را در منطقه نشان می‌دهند (اکبر و همکاران، ۱۳۹۲: ۱۶۰۱).

مقیمی و همکاران (۱۳۹۲) خطر زمین‌لغزش را در شهر روdbار با استفاده از مدل تحلیل شبکه ارزیابی و پهنه‌بندی و آثار زمین‌لغزش شهری را بر روند الگوی توسعه شهر روdbار بیان کردند. نتایج آنها با توجه به ترسیم نقشه نهایی زمین‌لغزش نشان دهنده سه محدوده به ترتیب با درجات کم خطر (۴ درصد)، خطر متوسط (۷۱ درصد) و خطر زیاد (۲۵ درصد) است که حاکی از فرایندهای مخاطره‌زا در محدوده شهری است (مقیمی و همکاران، ۱۳۹۲: ۱۰۳).

¹ Chang et al

² Unmanned Aircraft System

اطلاعاتی به صورت رستر تهیه و میزان آنها کمی گردید. با توجه به ویژگی‌های برداشت شده از زمین‌لغزش‌های منطقه اردل - ناغان، به هر لایه وزنی تعلق گرفت و پس از طبقه‌بندی لایه‌ها، ماتریس آنتروپی برای آنها تشکیل شد. شاخص آنتروپی گویای میزان بی‌نظمی در محیط است. برای استفاده از این مدل، نخست باید ماتریس تصمیم‌گیری ایجاد شود. ماتریس تصمیم‌گیری حاوی اطلاعاتی است که آنتروپی به منزله معیاری برای ارزیابی آن به کار می‌رود و با محاسبه ماتریس آنتروپی و وزن کل عوامل (w_j)، میزان Hi , ضریب وقوع خطر زمین‌لغزش، به دست می‌آید (مقیمی و همکاران، ۱۳۹۱: ۸۱).

آنtronپی ریشه یونانی دارد. این اصطلاح مرکب از انرژی (En) و (tropos) به معنای تغییر شکل یا تکامل است (Jaynes, 1980: 583). آنتروپی، رفتار پراکنده‌گی و پخش انرژی در یک سیستم است که افزایش یا کاهش می‌یابد و معیار سنجش بی‌نظمی در یک مجموعه یا سیستم دانسته می‌شود (Luna et al, 1963: 327; Bass, 2007: 1); بنابراین آنتروپی یعنی بی‌نظمی و مقدار آن، میزان اختلال و بی‌نظمی را در یک محیط یا سیستم نشان می‌دهد و روند آن را پیش‌بینی می‌کند (Bednarik et al, 2010: 167) یا کمیتی از بی‌نظمی بین علل و نتایج است (wan, 2009: 238).

خطرات و بلایای طبیعی، یکی از مفاهیم جغرافیایی است و مخاطرات طبیعی آن دسته از عناصر محیط طبیعی است که برای هویت‌های انسانی بسیار پرتش است و عناصر زیان‌آور موجود در محیط فیزیکی برای او محسوب می‌شود (Rosenfeld, 2004: 423, Ayala, 2002: 108). مخاطرات ژئومورفولوژی غالباً اتفاقات محتمل، بزرگ و پویایی‌اند که در زمان و

توجه به ویژگی‌ها و شرایط منطقه ارائه می‌شود (Chang et al, 2018: 709-725).

در پژوهشی دیگر مشخص شد منطقه پشتکوه فریدون‌شهر نیز از مخاطرات طبیعی در امان نبوده است. در مطالعات میدانی و اسنادی و رصد نقشه‌های توپوگرافی و تصاویر ماهواره‌ای شناخت عوامل مخاطره‌زا بررسی، تأیید و سعی شد با روش‌های نوین در نرم‌افزار جی.آی.اس موضوع بررسی شود. در این منطقه میزان تأثیر هریک از عوامل شش گانه در رخداد زمین‌لغزش تعیین شد.

روش‌شناسی پژوهش

این مقاله نتیجهٔ پژوهشی کاربردی است و به روش توصیفی - تحلیلی صورت گرفته است؛ در پژوهش حاضر با توجه به مطالعات اسنادی و میدانی، نقشه‌های توپوگرافی ۱/۵۰۰۰۰ و ۱/۲۵۰۰۰۰، نقشه‌های زمین‌شناسی ۱/۱۰۰۰۰۰ و ۱/۲۵۰۰۰۰ و مدل رقومی ارتفاعی^۱ (۹۰ متری) منطقه اردل - ناغان بررسی، سپس با استفاده از نرم‌افزار گوگل ارث زمین‌لغزش‌های منطقه مدنظر شناسایی و در ادامه با بازدیدهای میدانی لغزش‌های رخداده کتلر، برداشت بعضی از زمین‌لغزش‌ها با جی.پی.اس انجام و پس از آن لایه‌های اطلاعاتی تهیه شد. برای تجزیه و تحلیل داده‌ها و تهیه نقشه‌های لازم نرم‌افزار جی.آی.اس به کار رفت. با بررسی و شناسایی زمین‌لغزش‌ها در منطقه، فاصله از گسل، فاصله از آبراهه، زمین‌شناسی، شب، جهت شب و طبقات ارتفاعی به منزله عوامل مؤثر در وقوع زمین‌لغزش مشخص شد. لایه‌های

^۱ Digital Elevation Model (DEM)

Vj، درجه انحراف عدم اطمینان است و برای محاسبه وزن نهایی تمام عوامل (wj) موجود از رابطه ۵ استفاده می‌شود.

$$W_j = \frac{V_j}{\sum_{j=1}^m V_j} \quad \text{رابطه (۵)}$$

پس از محاسبه وزن کل (wj)، پهنگندی خطر زمین‌لغزش در منطقه اردل- ناغان با استفاده از رابطه ۶ ارزیابی می‌شود.

$$H_i = \sum_{i=1}^n w_{ij} \times r_{i,j} \quad \text{رابطه (۶)}$$

در این رابطه H_i ضریب رخداد خطر زمین‌لغزش، w_{ij} وزن نهایی تمام عوامل و $r_{i,j}$ وزن هریک از عوامل است. تعداد لغزش‌ها در منطقه اردل - ناغان ۱۵۰ لغزش برآورد شده که با توجه به رابطه ۱- $K = (\ln m)^{-1} / 199575$ به دست آمده است.

محدوده پژوهش

شهرستان اردل ° ناغان در جنوب غربی استان چهارمحال و بختیاری قرار دارد و موقعیت آن ۵۰ درجه و ۵۴ دقیقه تا ۵۱ درجه و ۱۰ دقیقه طول جغرافیایی و ۳۱ درجه و ۳۵ دقیقه تا ۳۲ درجه و ۱۴ دقیقه عرض جغرافیایی است. مساحت شهرستان ۲۶۷۰ کیلومترمربع است و با نرم‌افزار جی. آی. اس به دست آمده که حدود یک‌پنجم خاک استان را دربرگرفته است و در ارتفاع ۱۹۸۰ متری از سطح دریا قرار دارد. این شهرستان از شمال به شهرستان فارسان، از جنوب به شهرستان ایذه، از شرق به شهرستان لردگان و از غرب به بخش سوراب شهرستان فارسان منتهی می‌شود (شکل ۱).

مکان مشخص رخ می‌دهند (Panizze, 2004: 318). برای اجرای مدل آنتروپی نخست در محیط جی. آی. اس لایه‌های اطلاعاتی برای محدوده پژوهش تهیه و با بررسی زمین‌لغزش‌های رخداده در منطقه عوامل تأثیرگذار مثل زمین‌شناسی طبقات ارتفاعی، فاصله از آبراهه، شیب، جهت شیب و فاصله از گسل در وقوع زمین‌لغزش مشخص و لایه‌های اطلاعاتی یادشده به صورت رستر آماده و کمی شد. با توجه به ویژگی‌های برداشت شده از زمین‌لغزش‌های منطقه و نظر کارشناسی به هر لایه برمبنای اهمیت آن در وقوع یا تشدید لغزش امتیازی بین عدد ۱-۹ داده شد و پس از طبقه‌بندی لایه‌ها ماتریس آنتروپی تشکیل شد. با محاسبه این مدل، وزن نهایی تمام عوامل (wj) و ضریب رخداد خطر زمین‌لغزش (H_i) به دست می‌آید و به پهنگندی منطقه اقدام می‌شود. مدل آنتروپی به صورت روابط زیر بیان می‌شود (zongji et al., 2010: 1336) در این روابط E_j ارزش آنتروپی، p_{ij} ماتریس تصمیم‌گیری و j -به مقدار وزن هریک از لایه‌های است.

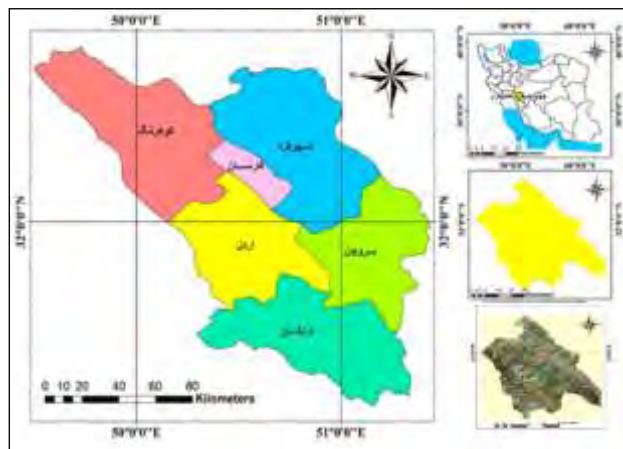
$$E_j = -K \sum_{i=1}^n p_{i,j} \ln p_{i,j} \quad \text{رابطه (۱)}$$

$$p_{i,j} = \frac{r_{i,j}}{\sum_{i=1}^m r_{i,j}} \quad \text{رابطه (۲)}$$

M تعداد زمین‌لغزه‌ها و K ضریب ثابت است. پس از تشکیل ماتریس تصمیم‌گیری و به دست آوردن مقدار E_j مقدار V_j از رابطه ۴ به دست آمد.

$$k = (\ln m)^{-1} \quad \text{رابطه (۳)}$$

$$V_j = 1 - E_j \quad \text{رابطه (۴)}$$



شکل ۱. نقشه محدوده اردل - ناغان (تهیه و ترسیم: نویسنده)

باران یا ذوب برف از راه درز و شکاف لایه‌های آهک رویی نفوذ می‌کند و به لایه‌های نفوذپذیر مارن و شیل در زیر می‌رسد. لایه‌های سست مارن یا شیل با جذب آب به حالت خمیری و لغزنده درمی‌آیند و این امر موجب ناپایداری لایه‌های آهک رویی می‌شود. در مکان‌هایی که شیب دامنه زیاد باشد یا در فرسایش کناری رود پی دامنه‌ها خالی شود یا آنکه تکان ناشی از زلزله به وقوع بپیوندد، لایه‌های آهک در اثر نیروی ثقل به طرف پایین حرکت خواهند کرد که نمونه آن بارها در زاگرس میانی اتفاق افتاده است (علایی طالقانی، ۱۳۸۱: ۱۳۹).

یکی از لایه‌های اطلاعاتی که در بیشتر روش‌های خطر زمین‌لغزش به کار می‌رود، اطلاعات مربوط به زمین‌شناسی و واحدهای لیتوژوژی است. لیتوژوژی از مهم‌ترین عوامل مؤثر بر ناپایداری شیب و به‌طورکلی بیان‌کننده ساخت، بافت و مقاومت و دوام نسبی یک توده سنگ است. ویژگی و جنس سنگ‌ها نقش زیادی در پایداری و ناپایداری دامنه‌ها دارد. منطقه اردل - ناغان مربوط به سنگ‌هایی از دوران سوم و چهارم زمین‌شناسی است و همان‌طور که در شکل (۲) نشان

زمین‌شناسی و تحلیل ساختاری منطقه

مطالعات زمین‌شناسی یک منطقه اهمیت زیادی دارد. شناخت این ویژگی‌ها پژوهشگر را در ارزیابی فرسایش، نفوذپذیری، مقاومت، رسوب‌زایی و ... یاری می‌دهد. این بررسی‌ها جنبه دیگری از نقش ساختمان زمین را در ترسیم چهره ناهمواری‌ها نشان می‌دهد. بر این اساس با مطالعه روابط موجود، شیب، وجه شیب، انحنا، اقلیم، خاک و کاربری زمین‌ها، نتایج مطلوبی به دست می‌آید. پدیده زمین‌لغزش در رسوب‌های ریزدانه، سست و شکل‌پذیر مانند رس و مارن از پدیده‌های شناخته شده است؛ لیکن لغزش لایه‌های زمین‌شناسی یا چینه‌ای با سطح مقطع پلانش از فرایندهای دامنه‌ای است که در قلمرو زاگرس اتفاق می‌افتد و تقریباً از پدیده‌های خاص زاگرس میانی به شمار می‌آید؛ یعنی نوع لغزش که در آن عمل لغزش در سطح چینه‌شناسی سری رسوب‌ها و موازی با شیب دامنه صورت می‌گیرد. تناوب لایه‌های سخت آهک در رو و مارن در زیر، شیب زیاد ساختمانی، دخالت تکتونیک و بالاخره نیروی نقل از عوامل مؤثر در وقوع این پدیده محسوب می‌شود. آب حاصل از بارش

داده و بیشتر لغزش‌های منطقه در دوران چهارم زمین‌شناسی اتفاق افتاده است.

داده شده است، بیشترین مساحت منطقه را سنگ آهک و آهک با لایه‌های شیل، مارن و ماسه‌سنگ تشکیل

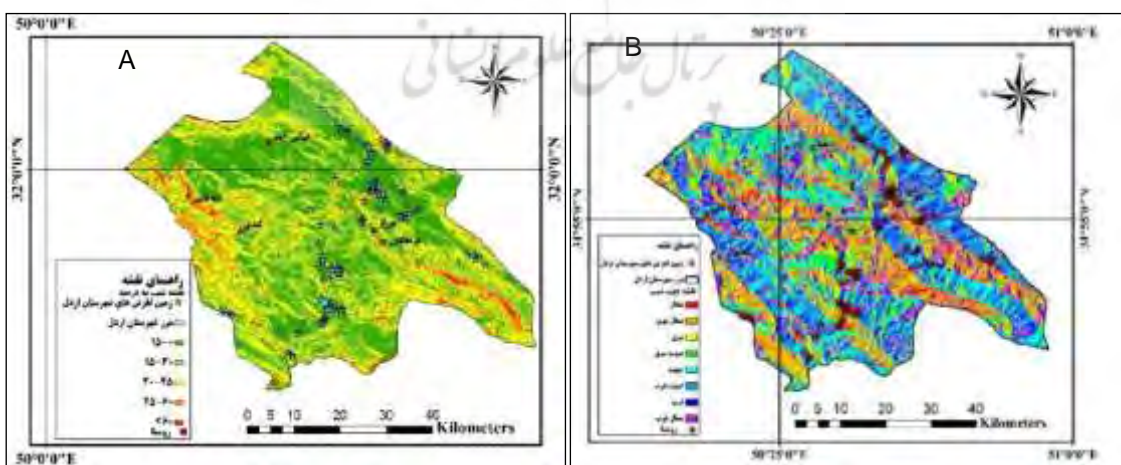


شکل ۲. نقشه زمین‌شناسی منطقه پژوهش (تپه و ترسیم: نویسنده)

برای اجرای مدل، لایه‌های اطلاعاتی به صورت رستر درآمدند و طبقه‌بندی شدند؛ سپس این لایه‌ها به مثابه داده‌های اصلی برای تشکیل ماتریس آنتروپی به کار رفته‌ند (نقشه‌های ۳ تا ۸).

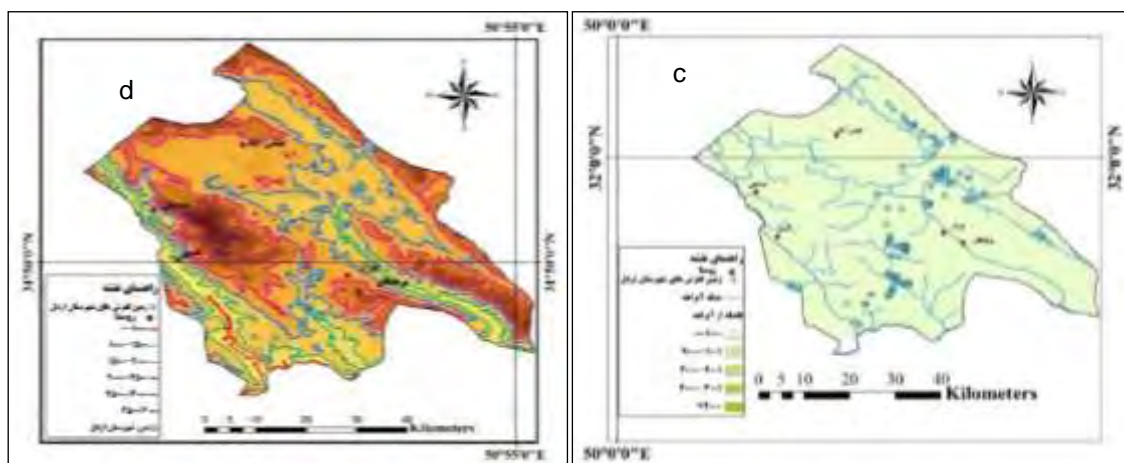
یافته‌های پژوهش

با توجه به برداشت‌های انجام گرفته طی بازدیدهای میدانی، بررسی عکس‌های هوایی و تصاویر ماهواره‌ای از منطقه و شناسایی عوامل مؤثر در وقوع زمین‌لغزش، به هریک از عوامل مطالعه‌شده وزن داده شده است که



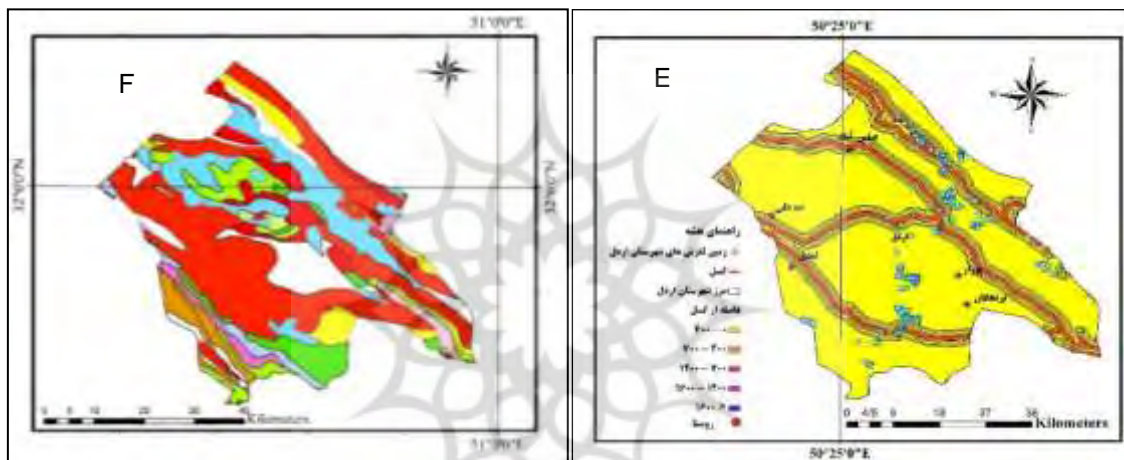
شکل ۴. نقشه شیب به درصد

شکل ۳. نقشه جهت شیب



شکل ۶. نقشه طبقات ارتفاعی

شکل ۵. نقشه فاصله از آبراهه



شکل ۸. زمین‌شناسی

شکل ۷. نقشه فاصله از گسل

تahie و ترسیم: نویسندهان، ۱۳۹۳

جدول ۱. امتیاز اختصاص یافته به هر یک از عوامل شش گانه (تahie: نویسندهان، ۱۳۹۳)

| شیب | شیب | جهت شیب | امتیاز | جهت شیب | امتیاز | طبقات ارتفاعی (متر) | امتیاز | فاصله از گسل (متر) | امتیاز | شیب |
|-------|--------|----------|--------|----------|--------|---------------------|--------|--------------------|-----------|-----|
| >-۱۵ | -۰-۱۵ | شمال | ۷ | شمال شرق | ۹ | ۱۰۰۰ | ۹ | ۰-۴۰۰ | ۰-۴۰۰ | ۳ |
| ۱۵-۳۰ | -۱۵-۳۰ | شمال شرق | ۹ | شرق | ۶ | ۱۵۰۰ | ۴ | ۴۰۰-۷۰۰ | ۷۰۰-۱۲۰۰ | ۹ |
| ۳۰-۴۵ | -۳۰-۴۵ | شرق | ۶ | جنوب شرق | ۵ | ۲۰۰۰ | ۷ | ۷۰۰-۱۲۰۰ | ۱۲۰۰-۱۶۰۰ | ۷ |
| ۴۵-۶۰ | -۴۵-۶۰ | جنوب شرق | ۵ | جنوب | ۳ | ۲۵۰۰ | ۴ | >۱۶۰۰ | ۱۲۰۰-۱۶۰۰ | ۵ |
| >۶۰ | ->۶۰ | جنوب | ۳ | جنوب غرب | ۷ | ۳۰۰۰ | ۵ | ۰-۴۰۰ | ۴۰۰-۷۰۰ | ۹ |
| | | غرب | ۸ | | | ۳۵۰۰ | | | | |
| | | شمال غرب | ۹ | | | | | | | |

ادامه جدول ۱. امتیاز اختصاص یافته به هریک از عوامل شش گانه (تھیه: نویسندهای، ۱۳۹۳)

| امتیاز | افتراضی | افتراضی | زمانی | امتیاز | زمانی | امتیاز | زمانی | زمانی |
|--------|-----------|---------|-------|--------|-------|--------|-------|-------|
| ۱ | ۰-۱۰۰۰ | ۸ | Qf | ۳ | Kb | ۰ | CP | |
| ۳ | ۱۰۰۱-۲۰۰۰ | ۰ | Qt2 | ۷ | Kg | ۰ | E | |
| ۵ | ۲۰۰۱-۳۰۰۰ | ۹ | SPh | ۰ | Kt | ۵ | EE | |
| ۷ | ۳۰۰۱-۴۰۰۰ | ۰ | Tr | ۳ | Ma | ۰ | EK | |
| ۹ | >۴۰۰۱ | | | ۱ | Mgs | ۵ | Ekn | |
| | | | | ۰ | N | ۰ | El | |
| | | | | ۱ | OMa | ۰ | Ep | |
| | | | | ۰ | PC | ۰ | Jkk | |
| | | | | ۳ | Plb | ۵ | JKk | |

در این مطالعه از داده‌های مربوط به ۱۵۰ لغزش زمین‌لغزش منطقه، ماتریس آنتروپی تشکیل شد رخداده در منطقه اردل ° ناغان استفاده شده است. در همین راستا برای شش عامل تأثیرگذار مشترک در هر

جدول ۲. ماتریس آنتروپی برای عوامل شش گانه (تھیه: نویسندهای، ۱۳۹۳)

| زمین‌شناسی | فاصله از گسل (متر) | فاصله از آبراهه (متر) | توبوگرافی (متر) | وجه شیب | شیب بر حسب درصد | زمین‌لغزش |
|---|--------------------|-----------------------|-----------------|----------|-----------------|-----------|
| کژدمی، سروک، سورگاه و ایلام | ۱۵۰۰ | ۵۵۰ | ۳۵۰۰ | شمال غرب | ۷/۵ | ۱ |
| سازندگانی سورمه، انیدریت هیث، فحیلیان، گدوان و داریان | ۱۶۰۰ | | | | ۲۲/۵ | ۲ |
| سازند آقاجاری | ۲۵۰۰ | ۵۵۰ | ۲۷۵۰ | جنوب غرب | ۵۲/۵ | ۳ |
| سازند پاپده | ۲۵۰۰ | ۱۴۰۰ | | | ۷/۵ | ۴ |
| سازند آقاجاری | ۵۵۰ | ۹۵۰ | | شمال شرق | ۲۲/۵ | ۶ |
| سازند گورپی | ۱۵۰۰ | ۹۵۰ | ۳۵۰۰ | جنوب شرق | ۳۷/۵ | ۷ |
| ذخایر تراصی و مخروط‌افکنهای کوهپایه‌ای جدید کم ارتفاع | ۱۵۰۰ | ۱۷۵۰ | | شرق | ۲۲/۵ | ۸ |
| ۵۰۰ | ۵۵۰ | ۲۷۵۰ | شمال شرق | ۷/۵ | ۹ | |
| | | ۳۵۰۰ | | شمال شرق | ۷/۵ | ۱۰ |
| | | ۲۷۵۰ | | غرب | | ۱۱ |
| | | ۲۷۵۰ | | شمال شرق | ۲۲/۵ | ۱۲ |
| | | ۱۷۵۰ | | شمال غرب | ۷/۵ | ۱۴ |
| | | ۲۷۵۰ | | شمال | ۳۷/۵ | ۱۵ |
| | | ۳۵۰۰ | | جنوب | ۳۷/۵ | ۱۶ |
| | | ۳۵۰۰ | | جنوب شرق | ۲۲/۵ | ۱۷ |
| | | ۲۷۵۰ | | جنوب | ۳۷/۵ | ۱۸ |

| زمین‌شناسی | فاصله از آبراهه (متر) | فاصله از گسل (متر) | توبوگرافی (متر) | وجه شیب | شیب بر حسب درصد | زمین‌لغزش |
|---|-----------------------|--------------------|-----------------|---------|-----------------|-----------|
| | | ۳۵۰۰ | | | | ۱۹ |
| | ۱۴۰۰ | ۳۵۰۰ | | | ۲۲/۵ | ۲۰ |
| | ۹۵۰ | ۱۲۵۰ | جنوب شرق | | ۳۷/۵ | ۲۱ |
| | ۵۵۰ | ۲۷۵۰ | | | ۲۲/۵ | ۲۲ |
| | ۲۰۰ | ۲۷۵۰ | غرب | | | ۲۳ |
| | ۵۵۰ | ۲۲۵۰ | جنوب | ۵۲/۵ | | ۲۴ |
| سازند تاربور | ۹۵۰ | ۲۷۵۰ | غرب | | | ۲۵ |
| | ۱۴۰۰ | ۲۲۵۰ | شمال شرق | ۷/۵ | | ۲۶ |
| | ۱۶۰۰ | ۲۷۵۰ | جنوب شرق | ۳۷/۵ | | ۲۷ |
| سازند دالان | ۱۴۰۰ | ۲۷۵۰ | شمال شرق | ۲۲/۵ | | ۲۸ |
| | ۹۵۰ | ۳۵۰۰ | جنوب | ۲۲/۵ | | ۲۹ |
| کژدمی، سروک، سورگاه و ایلام | ۵۵۰ | ۲۲۵۰ | جنوب غرب | ۳۷/۵ | | ۳۰ |
| | ۱۶۰۰ | ۲۷۵۰ | | | ۶/۰ | ۳۱ |
| ذخایر تراسی و مخروط افکنه‌های کوهپایه‌ای جدید کم ارتفاع | ۱۴۰۰ | | شرق | | | ۳۲ |
| | ۹۵۰ | ۲۲۵۰ | | | ۳۷/۵ | ۳۳ |
| | ۵۵۰ | | جنوب شرق | ۲۲/۵ | | ۳۴ |
| سازند پاپده | ۲۵۰۰ | ۹۵۰ | | | | ۳۵ |
| | ۱۶۰۰ | ۲۷۵۰ | جنوب | ۷/۵ | | ۳۶ |
| | ۱۴۰۰ | ۱۷۵۰ | جنوب شرق | ۳۷/۵ | | ۳۷ |
| سازند بختیاری | ۲۰۰ | ۱۷۵۰ | جنوب غرب | ۳۷/۵ | | ۳۸ |
| | | ۲۲۵۰ | شمال شرق | ۲۲/۵ | | ۳۹ |
| کژدمی، سروک، سورگاه و ایلام | ۵۰۰ | ۱۷۵۰ | شرق | ۳۷/۵ | | ۴۰ |
| | ۵۰۰ | ۲۲۵۰ | جنوب شرق | ۷/۵ | | ۴۱ |
| | ۹۵۰ | ۲۲۵۰ | شمال غرب | ۵۲/۵ | | ۴۲ |
| | ۵۵۰ | | جنوب | ۳۷/۵ | | ۴۳ |
| | ۲۰۰ | ۲۷۵۰ | شمال غرب | ۲۲/۵ | | ۴۴ |
| سازند گورجی | ۱۵۰۰ | ۲۰۰ | جنوب | ۷/۵ | | ۴۵ |
| | ۱۴۰۰ | ۲۲۵۰ | | | ۲۲/۵ | ۴۶ |
| | ۹۵۰ | ۳۵۰۰ | شمال غرب | ۳۷/۵ | | ۴۷ |
| | ۲۰۰ | ۲۷۵۰ | غرب | ۲۲/۵ | | ۴۸ |
| | ۵۵۰ | ۱۷۵۰ | جنوب | ۳۷/۵ | | ۴۹ |
| | ۹۵۰ | ۲۲۵۰ | جنوب شرق | ۶/۰ | | ۵۰ |
| | ۱۴۰۰ | ۱۲۵۰ | جنوب | | | ۵۲ |
| | ۲۰۰ | ۲۷۵۰ | شمال غرب | ۳۷/۵ | | ۵۳ |
| | ۵۵۰ | | | | | ۵۴ |

| زمین‌شناسی | فاصله از آبراهه (متر) | فاصله از گسل (متر) | توبوگرافی (متر) | وجه شیب | شیب بر حسب درصد | زمین لغش |
|---|-----------------------|--------------------|-----------------|----------|-----------------|----------|
| کژدمی، سروک، سورگاه و ایلام | ۵۰۰ | ۹۵۰ | | جنوب شرق | ۲۲/۵ | ۵۵ |
| | | ۱۴۰۰ | | جنوب | | ۵۶ |
| | ۱۵۰۰ | ۱۶۰۰ | | | ۳۷/۵ | ۵۷ |
| | | ۱۴۰۰ | ۱۷۵۰ | غرب | | ۵۸ |
| | ۵۰۰ | ۹۵۰ | ۲۲۵۰ | | | ۵۹ |
| | | ۵۰۰ | | | | ۶۰ |
| | ۱۵۰۰ | ۱۶۰۰ | ۱۷۵۰ | جنوب غرب | ۲۲/۵ | ۶۱ |
| | | ۲۰۰ | ۲۷۵۰ | | | ۶۲ |
| ذخایر تراصی و مخروط افکنه‌های کوهپایه‌ای جدید کم ارتفاع | | ۱۴۰۰ | | | | ۶۳ |
| | ۵۰۰ | ۵۰۰ | | شمال شرق | | ۶۴ |
| | | | ۲۲۵۰ | | ۵۲/۵ | ۶۵ |
| | | ۹۵۰ | | جنوب غرب | | ۶۶ |
| | ۱۵۰۰ | | | | | ۶۷ |
| | ۵۰۰ | ۱۴۰۰ | | غرب | ۳۷/۵ | ۶۸ |
| سازند پاپده | ۵۰۰ | ۱۶۰۰ | ۲۷۵۰ | جنوب شرق | ۷/۵ | ۶۹ |
| سازند پاپده | | ۹۵۰ | ۱۲۵۰ | شمال شرق | ۳۷/۵ | ۷۰ |
| | | ۱۶۰۰ | | شرق | | ۷۱ |
| کژدمی، سروک، سورگاه و ایلام | ۵۰۰ | ۱۴۰۰ | ۲۲۵۰ | | ۲۲/۵ | ۷۲ |
| ذخایر تراصی و مخروط افکنه‌های کوهپایه‌ای جدید کم ارتفاع | | | ۱۲۵۰ | جنوب غرب | ۷/۵ | ۷۳ |
| | ۹۵۰ | | ۲۲۵۰ | غرب | ۲۲/۵ | ۷۴ |
| | ۲۵۰۰ | ۲۰۰ | ۱۲۵۰ | جنوب غرب | ۷/۵ | ۷۵ |
| کژدمی، سروک، سورگاه و ایلام | | ۹۵۰ | | | | ۷۶ |
| | | | ۱۷۵۰ | غرب | ۲۲/۵ | ۷۷ |
| | | ۵۰۰ | ۱۷۵۰ | | | ۷۸ |
| | | | ۲۷۵۰ | شمال شرق | ۳۷/۵ | ۷۹ |
| ذخایر تراصی و مخروط افکنه‌های کوهپایه‌ای جدید کم ارتفاع | | ۹۵۰ | | | | ۸۰ |
| | | | ۱۲۵۰ | شرق | | ۸۱ |
| | ۵۰۰ | | | شمال شرق | | ۸۲ |
| | | | | شمال غرب | ۲۲/۵ | ۸۳ |
| | ۵۰۰ | | ۲۷۵۰ | شمال شرق | | ۸۴ |
| کژدمی، سروک، سورگاه و ایلام | | | | غرب | ۷/۵ | ۸۵ |
| | | ۱۶۰۰ | | جنوب شرق | ۲۲/۵ | ۸۶ |
| | | | ۱۷۵۰ | | | ۸۷ |
| | | | ۲۲۵۰ | | | ۸۸ |
| ذخایر تراصی و مخروط افکنه‌های کوهپایه‌ای جدید کم ارتفاع | ۱۴۰۰ | ۳۵۰۰ | | جنوب | ۷/۵ | ۸۹ |
| | ۱۶۰۰ | | ۲۲۵۰ | | ۵۲/۵ | ۹۰ |
| کوهپایه‌ای جدید کم ارتفاع | ۱۴۰۰ | | | | ۲۲/۵ | ۹۱ |

| زمین‌شناسی | فاصله از آبراهه (متر) | فاصله از گسل (متر) | توبوگرافی (متر) | وجه شیب | شیب بر حسب درصد | زمین لغزش |
|---|-----------------------|--------------------|-----------------|----------|-----------------|-----------|
| سنگ‌های تفکیک‌نشده ائوسن | ۵۵۰ | ۲۷۵۰ | | | ۳۷/۵ | ۹۲ |
| ذخایر تراسی و مخروط‌افکنه‌های کوهپایه‌ای جدید کم ارتفاع | ۵۵۰ | ۳۵۰۰ | | شمال غرب | ۲۲/۵ | ۹۳ |
| سازند آقاجاری | ۲۵۰۰ | ۲۲۵۰ | | غرب | ۲۲/۵ | ۹۴ |
| کژدمی، سروک، سورگاه و ایلام | ۱۶۰۰ | ۱۷۵۰ | | شمال شرق | ۳۷/۵ | ۹۵ |
| ذخایر تراسی و مخروط‌افکنه‌های کوهپایه‌ای جدید کم ارتفاع | ۲۰۰ | ۲۷۵۰ | | شمال | ۲۲/۵ | ۹۶ |
| کژدمی، سروک، سورگاه و ایلام | ۵۰۰ | ۱۶۰۰ | | شمال شرق | | ۹۷ |
| ذخایر تراسی و مخروط‌افکنه‌های کوهپایه‌ای جدید کم ارتفاع | ۱۴۰۰ | ۲۷۵۰ | | | ۲۲/۵ | ۹۸ |
| سازند گورپی | ۳۵۰۰ | ۲۷۵۰ | | جنوب غرب | ۷/۵ | ۹۹ |
| سازند آقاجاری | ۱۵۰۰ | ۱۷۵۰ | | شمال شرق | ۲۲/۵ | ۱۰۰ |
| سازند آسماری | ۳۵۰۰ | ۱۷۵۰ | | جنوب شرق | ۷/۵ | ۱۰۱ |
| سنگ‌های تفکیک‌نشده ائوسن | ۵۰۰ | ۲۰۰ | | شمال شرق | ۳۷/۵ | ۱۰۲ |
| کژدمی، سروک، سورگاه و ایلام | ۱۵۰۰ | ۳۵۰۰ | | جنوب غرب | ۲۲/۵ | ۱۰۳ |
| سازند آقاجاری | ۵۰۰ | ۱۶۰۰ | | جنوب شرق | ۷/۵ | ۱۰۴ |
| سازند آسماری | ۵۰۰ | ۱۶۰۰ | | شمال شرق | ۲۲/۵ | ۱۰۵ |
| کژدمی، سروک، سورگاه و ایلام | ۳۵۰۰ | ۲۷۵۰ | | شمال شرق | ۷/۵ | ۱۰۶ |
| سازند آقاجاری | ۱۵۰۰ | ۲۰۰ | | جنوب غرب | ۲۲/۵ | ۱۰۷ |
| سازند آسماری | ۱۵۰۰ | ۳۵۰۰ | | شرق | ۷/۵ | ۱۰۸ |
| سنگ‌های تفکیک‌نشده ائوسن | ۵۰۰ | ۱۶۰۰ | | جنوب شرق | ۲۲/۵ | ۱۰۹ |
| کژدمی، سروک، سورگاه و ایلام | ۳۵۰۰ | ۲۷۵۰ | | شمال شرق | ۷/۵ | ۱۱۰ |
| سازند آقاجاری | ۱۵۰۰ | ۲۰۰ | | شرق | ۲۲/۵ | ۱۱۱ |
| سازند آسماری | ۱۵۰۰ | ۳۵۰۰ | | شمال شرق | ۷/۵ | ۱۱۲ |
| کژدمی، سروک، سورگاه و ایلام | ۵۰۰ | ۱۶۰۰ | | شمال شرق | ۲۲/۵ | ۱۱۳ |
| سازند آسماری | ۱۵۰۰ | ۲۷۵۰ | | شمال شرق | ۷/۵ | ۱۱۴ |
| سنگ‌های تفکیک‌نشده ائوسن | ۳۵۰۰ | ۲۷۵۰ | | شمال شرق | ۲۲/۵ | ۱۱۵ |
| کژدمی، سروک، سورگاه و ایلام | ۵۰۰ | ۲۰۰ | | شمال شرق | ۷/۵ | ۱۱۶ |
| سازند آقاجاری | ۱۵۰۰ | ۳۵۰۰ | | شمال شرق | ۲۲/۵ | ۱۱۷ |
| سازند آسماری | ۱۵۰۰ | ۲۰۰ | | شمال | ۷/۵ | ۱۱۸ |
| کژدمی، سروک، سورگاه و ایلام | ۵۰۰ | ۳۵۰۰ | | شمال | ۲۲/۵ | ۱۱۹ |
| سازند آقاجاری | ۱۵۰۰ | ۱۶۰۰ | | جنوب | ۷/۵ | ۱۲۰ |
| سازند آسماری | ۱۵۰۰ | ۱۷۵۰ | | جنوب غرب | ۲۲/۵ | ۱۲۱ |
| کژدمی، سروک، سورگاه و ایلام | ۵۰۰ | ۱۷۵۰ | | شمال غرب | ۷/۵ | ۱۲۲ |
| سازند آقاجاری | ۱۵۰۰ | ۲۰۰ | | شمال غرب | ۲۲/۵ | ۱۲۳ |
| کژدمی، سروک، سورگاه و ایلام | ۵۰۰ | ۲۰۰ | | شمال غرب | ۷/۵ | ۱۲۴ |
| سازند آقاجاری | ۱۵۰۰ | ۱۶۰۰ | | شمال غرب | ۳۷/۵ | ۱۲۵ |
| کژدمی، سروک، سورگاه و ایلام | ۱۵۰۰ | ۱۷۵۰ | | شمال غرب | ۵۲/۵ | ۱۲۶ |
| سازند آقاجاری | ۱۵۰۰ | ۲۰۰ | | شمال غرب | | ۱۲۷ |

| زمین‌شناسی | فاصله از آبراهه (متر) | فاصله از گسل (متر) | تپوگرافی (متر) | وجه شیب | شیب بر حسب درصد | زمین‌لغزش |
|---|-----------------------|--------------------|----------------|----------|-----------------|-----------|
| | | | شمال غرب | ۲۲/۵ | ۱۲۸ | |
| | ۲۷۵۰ | | شرق | | ۱۲۹ | |
| | | ۲۲۵۰ | غرب | ۷/۵ | ۱۳۰ | |
| | | ۳۵۰۰ | | | ۱۳۱ | |
| | | ۱۷۵۰ | | ۳۷/۵ | ۱۳۲ | |
| | ۲۰۰ | | ۲۳۵۰ | | ۱۳۳ | |
| | | ۲۳۵۰ | | | ۱۳۴ | |
| | ۵۰۰ | | ۱۷۵۰ | جنوب غرب | ۶ | ۱۳۵ |
| ذخایر تراسی و مخروط‌افکنه‌های کوهپایه‌ای جدید کم ارتفاع | ۱۵۰۰ | ۹۵۰ | ۳۵۰۰ | | | ۱۳۶ |
| | | | ۲۲۵۰ | ۵۲/۵ | ۱۳۷ | |
| | | | | | ۱۳۸ | |
| | ۱۴۰۰ | | ۲۷۵۰ | ۷/۵ | ۱۳۹ | |
| | | | ۳۵۰۰ | جنوب | | ۱۴۰ |
| کزدمی، سروک، سورگاه و ایلام | ۵۰۰ | | | | | ۱۴۱ |
| | | | ۲۷۵۰ | ۲۲/۵ | ۱۴۲ | |
| | | | | جنوب | | ۱۴۳ |
| | ۱۶۰۰ | | ۲۷۵۰ | ۷/۵ | ۱۴۴ | |
| ذخایر تراسی و مخروط‌افکنه‌های کوهپایه‌ای جدید کم ارتفاع | ۱۵۰۰ | | ۲۲۵۰ | جنوب غرب | | ۱۴۵ |
| | | | ۲۷۵۰ | ۷/۵ | ۱۴۶ | |
| | | | ۳۵۰۰ | جنوب غرب | | ۱۴۷ |
| | | | ۲۲۵۰ | جنوب | | ۱۴۸ |
| کزدمی، سروک، سورگاه و ایلام | ۱۵۰۰ | | ۲۷۵۰ | ۲۲/۵ | ۱۴۹ | |
| | | | ۲۲۵۰ | جنوب غرب | | ۱۵۰ |

مقدار آن در صورت تساوی (pi) ها با یکدیگر، بیشترین مقدار ممکن خواهد بود (اصغرپور، ۱۳۸۵؛ ۱۹۶)؛ سپس درجه انحراف عدم اطمینان هر معیار (dj) از کسر مقدار (Ej) از عدد یک (رابطه ۴) و مقدار(wj) از رابطه ۵ و درنهایت پنهانی خطر زمین‌لغزش منطقه اردل ° ناغان با رابطه ۶ به دست آمده است.

پس از تبدیل معیارها به عدد صحیح و تشکیل ماتریس اولیه جدول (۲)، مقدار (pij) با استفاده از رابطه ۲ و مقدار (k) با رابطه ۳ به دست آمده (مقدار k برای منطقه اردل ° ناغان، ۰/۱۹۹۵۷۵ به دست آمده است) و برای محاسبه (Ej) برای هر عامل از رابطه ۱ استفاده شده است. در این رابطه (E) از توزیع احتمال و (Pi) براساس سازوکار آماری محاسبه شده است و

جدول ۳. مقادیر شاخص‌های محاسبه شده برای عوامل مؤثر در زمین‌لغزش

| شاخص محاسبه شده | شیب | جهت شیب | فاصله از گسل | فاصله از آبراهه | ارتفاع | زمین‌شناسی |
|-----------------|----------|----------|--------------|-----------------|------------|------------|
| Ej | ۰/۹۹۶۸۴۵ | ۰/۹۹۶۵۳ | ۰/۹۹۴۸۱۸ | ۰/۹۹۹۹۵ | ۰/۹۸۳۸۷۸۵۹ | ۰/۹۷۶۵۶۸ |
| Vj | ۰/۰۰۳۱۵۵ | ۰/۰۰۳۴۴۷ | ۰/۰۰۵۱۸۲ | ۰/۰۰۰۰۵ | ۰/۰۱۶۱۲۱۴۱ | ۰/۰۲۳۴۳۲ |
| wj | ۰/۰۶۱۳۹۲ | ۰/۰۶۷۰۷۲ | ۰/۱۰۰۸۴۸ | ۰/۰۰۰۹۷۲۹۹۹ | ۰/۳۱۳۷۲۲۲۷ | ۰/۴۵۵۹۹۳ |

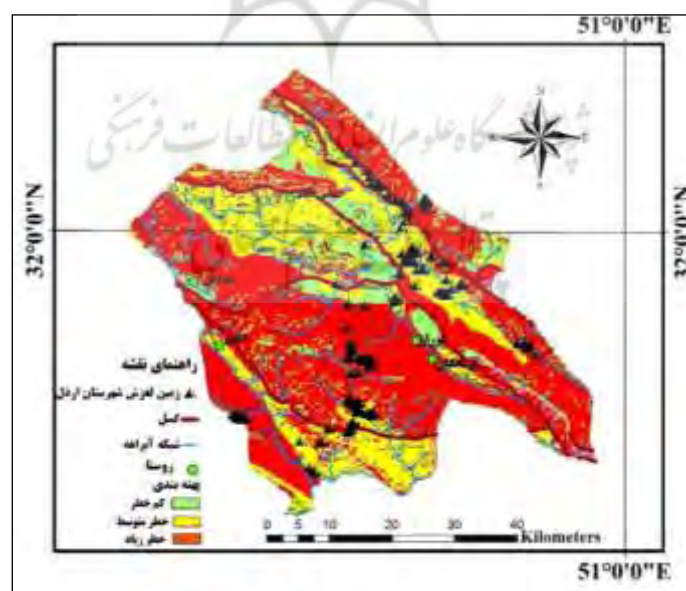
تھیه: نویسنده‌گان، ۱۳۹۳

خطر زیاد، ۲۰ درصد منطقه با مساحت ۵۳۴ کیلومترمربع خطر متوسط و ۱۰ درصد منطقه با مساحت ۲۶۷ کیلومترمربع خطر کم دارد و درنهایت حاکی از پرخاطره‌بودن منطقه از لحاظ خطر زمین‌لغزش است.

با توجه به زمین‌لغزش‌های رخداده در منطقه و ترسیم نقشهٔ پهن‌بندی خطر زمین‌لغزش در منطقه اردل - ناغان، جدول (۴) و شکل (۹) مساحت پهن‌های مختلف خطر را در منطقه نشان می‌دهند که ۷۰ درصد منطقه با مساحتی حدود ۱۸۶۹ کیلومترمربع

جدول ۴. مساحت و درصد مناطق با خطر زیاد، متوسط و کم رخداد زمین‌لغزش (تھیه: نویسنده‌گان، ۱۳۹۳)

| منطقه | مساحت (Km ²) | درصد مساحت | تعداد زمین‌لغزش | درصد زمین‌لغزش |
|-----------|--------------------------|------------|-----------------|----------------|
| خطر زیاد | ۱۸۶۹ | ۰/۷۰ | ۷۴ | ۵۲ |
| خطر متوسط | ۵۳۴ | ۰/۲۰ | ۶۷ | ۲۵ |
| خطر کم | ۲۶۷ | ۰/۱۰ | ۹ | ۲۳ |
| مجموع | ۲۶۷۰ | ۱۰۰ | ۱۵۰ | ۱۰۰ |



شکل ۹. نقشهٔ نهایی پهن‌بندی خطر رخداد زمین‌لغزش در منطقه اردل - ناغان با استفاده از مدل آنتروپی

تھیه و ترسیم: نویسنده‌گان، ۱۳۹۳

پهنهٔ خطر کم شامل ۲۳ درصد از مساحت منطقه به طور پراکنده در منطقه مدنظر دیده می‌شود که ارتفاع متوسط کمتر از ۱۵۰۰ متر را دربرگرفته است؛ بنابراین عوامل توپوگرافی و زمین‌شناسی و شیب و جهت شیب توانان تأثیر زیادی بر رخداد زمین‌لغزش در منطقه مطالعه شده دارند.

دقتسنجی نقشهٔ پهنه‌بندی نهایی با زمین‌لغزش‌های رخداده در منطقه مطالعاتی نشان می‌دهد ۷۴ زمین‌لغزش یعنی ۷۰ درصد زمین‌لغزش‌های رخداده در پهنه‌های خطر زیاد و ۶۷ زمین‌لغزش یعنی ۲۰ درصد زمین‌لغزش در پهنه‌های خطر متوسط و ۹ زمین‌لغزش یعنی ۱۰ درصد در پهنه‌های خطر کم واقع شده‌اند. درنتیجه منطقه پژوهش جزو نواحی پرخطر به شمار می‌رود.

منابع

اصغرپور، محمدجواد، (۱۳۸۵)، **تصمیم‌گیری‌های چندمعیاره**، تک‌جلد، چاپ ۷، تهران، انتشارات دانشگاه تهران.

اکبر، سمیه، رنجبر، حجت‌الله، کرمی‌نسب، سعید و عبدالملکی، مهدی، (۱۳۹۲)، **ارزیابی خطر زمین‌لغزش به کمک مدل فازی دانش - مبنای روش ترکیبی فازی - اوزان شاهد در منطقه مسکون جیرفت**، نشریه زمین‌شناسی مهندسی، دوره ۷، شماره ۱، ۱۶۰۱-۱۶۲۲.

انتظاری، مرگان، (۱۳۹۰)، **تأثیر چاله‌های حرارتی و برودتی بر زمین‌لغزش‌های استان اصفهان**، پایان‌نامهٔ دکتری، استاد راهنمای رامشت، محمدحسین، دانشگاه اصفهان، دانشکده علوم

با توجه به ویژگی‌های طبیعی و جغرافیایی منطقه و روش آنتropی که برای وزن‌دهی به کار رفته است، میزان تأثیر عوامل شش‌گانه در زمین‌لغزش متفاوت است. شب ۶/۳ درصد، جهت شب ۶/۷ درصد، فاصله از گسل ۱۰ درصد، ارتفاع ۳۱ درصد و زمین‌شناسی ۶ درصد در وقوع زمین‌لغزش‌های منطقه اثرگذار و فاصله از آبراهه بدون تأثیر بوده است.

نتیجه‌گیری

با مطالعه زمین‌لغزش‌های موجود در منطقه اردل - ناغان چنین برمی‌آید که امکان وقوع زمین‌لغزش در منطقه زیاد است. با توجه به نقشهٔ پهنه‌بندی به دست‌آمده از مدل آنتropی براساس شش عامل مؤثر بر زمین‌لغزش در قالب لایه‌های مختلف اطلاعاتی، پهنه‌های خطر زیاد تا کم شناسایی شدند. منطقه مطالعه شده ۲۶۷۰ کیلومترمربع است که ۱۵۰ رخداد زمین‌لغزش در آن به وقوع پیوسته و درنتیجه آن مناطق با خطر رخداد زیاد، قسمت‌های وسیعی از جنوب غرب، غرب و باریکه‌ای در شرق و شمال شرق و جنوب شرق را دربرگرفته است. این نواحی شب متوسط بین ۴۵-۲۰ درجه و ارتفاع متوسط ۲۸۶۰ متر دارد و گسل‌های منطقه در مرز بین پهنهٔ با خطر زیاد و متوسط واقع است و بیشترین وسعت منطقه یعنی حدوداً ۵۲ درصد مساحت را دربرگرفته است و در قلمرو سازنده‌های سورگاه و ایلام - سروک - کزدمی قرار دارد.

پهنهٔ خطر متوسط، باریکه‌ای در جنوب و قسمت‌هایی در شرق منطقه را دربرگرفته و مربوط به دوران چهارم است که ۲۵ درصد منطقه و ارتفاع بین ۱۵۰۰-۲۰۰۰ متر را شامل می‌شود.

- (مطالعه موردي: استان گilan)، فصلنامه علمي پژوهشي جغرافيايي سپهر، دوره ۲۷، شماره ۱۰۷، ۱۹۳-۲۰۸.
- عليبي طالقاني، محمود، (۱۳۸۱)، ژئومورفولوژي ايران، تک جلد، چاپ اول، تهران، انتشارات قومس.
- عليجانی، بهلول و کاويانی، محمد رضا، (۱۳۹۱)، ميانى آب و هواشناسى تهران، تک جلد، چاپ ۱۷، تهران، انتشارات سمت.
- فعله‌گري، محسن، طالبي، علی و کيا اشكوريان، ياسر، (۱۳۹۲)، بررسی اثر جاده‌سازی در وقوع زمین‌لغزش با استفاده از مدل پايداري FLAC SLOP دامنه (مطالعه موردي: حوضه آبخيز سد ايلام)، مجلة پژوهش‌های حفاظت آب و خاک، دوره ۲۰، شماره ۱، ۲۲۷-۲۳۹.
- متشرعی، آرش، قمی، جعفر، افتخاری، اکرم، پوزش، بهروز و شاهماری، مهدی، (۱۳۹۱)، پهنه‌بندی خطر وقوع زمین‌لغزش روی جاده تهران - چالوس و بزرگراه در دست احداث، فصلنامه زمین‌شناسی کاربردی، دوره ۸، شماره ۲، ۱۴۷ تا ۱۵۸.
- مقيمى، ابراهيم، باقرى سيد شكرى، سجاد و صفر راد، طاهر، (۱۳۹۱)، پهنه‌بندی خطر وقوع زمین‌لغزش با استفاده از مدل آنتروپى (مطالعه موردى: طاقديس نسار زاگرس شمال غربى)، پژوهش‌های جغرافيايي طبيعى، دوره ۴۴، شماره ۷۹، ۷۷-۹۹.

- جغرافيايي و برنامه‌ريزى، گروه جغرافياي طبيعى- ژئومورفولوژي.
- پورقاسمى، حميد رضا، مرادي، حميد رضا، محمدى، مجید، مصطفى زاده، رئوف، گلی جيرنده، عباس، (۱۳۹۱)، پهنه‌بندی خطر زمین‌لغزش با استفاده از تئوري بيزين، مجله علوم و فنون كشاورزى و منابع طبيعى، دوره ۱۶، شماره ۶۲، ۱۲۲-۱۰۹.
- زمرديان، جعفر، (۱۳۸۱)، ژئومورفولوژي ايران، فرایندهای اقلیمی و دینامیک‌های بیرونی، جلد ۲، چاپ ۳، دانشگاه فردوسی مشهد، انتشارات دانشگاه فردوسی مشهد.
- سازمان زمین‌شناسی کشور، نقشه‌های ۱:۲۵۰۰۰۰ و ۱:۱۰۰۰۰۰ زمین‌شناسی منطقه مطالعه شده، (شهرکرد ۶۱۵۴)، (باباحدير ۶۰۵۴)، (اردل ۶۱۵۳)، (دهلر ۶۰۵۳).
- سازمان نقشه‌برداری کشور، نقشه‌های توپوگرافی ۱:۲۵۰۰۰ و ۱:۵۰۰۰۰ منطقه مطالعه شده، (III-III)، (۶۰۵۴-II)، (۶۰۵۴-I)، (۶۰۵۴-II)، (۶۰۵۳-I)، (۶۱۵۴-III)، (۶۱۵۴-IV).
- سورى، سلمان، بهاروند، سیامک، احمدیان مقدم، رضا و دهبان، مریم، (۱۳۹۲)، پهنه‌بندی خطر زمین‌لغزش با استفاده از روش فرایند تحلیل سلسله‌مراتبی (مطالعه موردى: حوضه کسمت)، فصلنامه زمین‌شناسی کاربردی، دوره ۹، شماره ۲، ۱۱۰-۱۰۱.
- شاهزادى، سمیه سادات و جعفری، پیام، (۱۳۹۷)، تحلیل و پهنه‌بندی مخاطرات ژئومورفیک مناطق شمال کشور با استفاده از فرایند تحلیل شبکه

- Bergere Luna, Langbein Walter Basil, (1963), **the Concept of Entropy in Landscape Evolution**, Geological Survey Professional Paper, U.S. Govt. Print. Off, Washington.
- Chang, Kuo-Jen, Chan, Yu-Chang, Chen, Rou-Fei, Hsieh, Yu-Chung, (2018), **Geomorphological evolution of landslides near an active normal fault in northern Taiwan**, as revealed by lidar and unmanned aircraft system data, Natural Hazards and Earth System Sciences, Vol 18, No 3, Pp 709-727.
- Jaynes, E, (1980), **The minimum entropy production principle**, Ann. Rev. Phys. Chem., Vol 31, Pp 579° 601.
- Panizza, M., (2004), **Environmental Geomorphology**, Encyclopedia of Geomorphology, Vol 1, Pp 318-320.
- Pourghasemi, H.R., Mohammady, M., Pradhan, B., (2012), **Landslide susceptibility mapping using index of entropy and conditional probability models in GIS: Safarood Basin**, Iran, Geomorphology, CATENA, Vol 97, Pp 71-84.
- Rosenfeld, Charles, L., (2004), **Geomorphological Hazard**, Encyclopedia of Geomorphology, Vol 1, Pp 423-426.
- Wan, SH., (2009), **A Spatial Decision Support System for Extracting the Core Factors and Thresholds for Landslide Susceptibility Map**, Engineering Geology, Vol 108, Pp 237-251.
- Zongji, Y., Jianping, Q., Xiaogang, Z., (2010), **Regional landslide zonation based on entropy method in Three Gorges area, China**, In Proceedings of the Fuzzy Systems and Knowledge Discovery (FSKD), Yantai, China, 10° 12, Pp 1336° 1339.
- مقیمی، ابراهیم و نگهبان، سعید، (۱۳۹۱)، بررسی فرسایش در حوضه آبخیز رودخانه شور فدامی (استان فارس) با استفاده از مدل آنتروپی، مجلة پژوهش‌های جغرافیایی طبیعی، دوره ۴۴، شماره ۳، ۱۶-۱.
- مقیمی، ابراهیم، یمانی، مجتبی و رحیمی هرآبادی، سعید، (۱۳۹۲)، ارزیابی و پنهانی خطر زمین‌لغزش در شهر روذبار با استفاده از فرایند تحلیل شبکه، پژوهش‌های ژئومورفولوژی کمی، دوره ۱، شماره ۴، ۱۰۳-۱۱۸.
- نعمت‌اللهی، فاطمه، (۱۳۸۲)، بررسی ویژگی‌های ژئومورفیک دشت نمدان، پایان‌نامه کارشناسی ارشد، استاد راهنمای رامشت، محمدحسین، دانشگاه آزاد اسلامی نجف‌آباد، گروه جغرافیا.
- Ayala, Irasema, (2002), **Geomorphology, Natural Hazards, Vulnerability and Prevention of Natural Disasters in Developing Countries**, Geomorphology, Vol 47, Pp 107-124.
- Baas, Andreas, (2007), **Complex Systems in Aeolian Geomorphology**, Geomorphology, Vol 91, Pp 311-331.
- Bednarika, Martin, Magulova, Barbora, Matys, Mirko, (2010), **Landslide susceptibility Assessment of the kral ovany-liptovsky mikulas Railway case study**, physics and chemistry of the Earth, Elsevier, Volume 35, Issues 3° 5, Pp 162-171.